

Inhalte der Vorlesung

- Wiederholung Neuronale Netze (NN)
- Einführung spezieller Architekturen Neuronaler Netze
- Anwendung von Neuronalen Netzen zur Lösung zur Datenanalyse
- Verschiedene Architekturen Neuronaler Netze

Ziele der Vorlesung - Welche Fragen sollen beantwortet werden?

- Was genau machen Neuronale Netze?
- Wie kann ich mir das vorstellen?
- Was ist überhaupt "Deep Learning"?
- Welche verschiedenen Architekturen neuronaler Netze gibt es?
- Muss es immer Deep Learning sein?



[<https://xkcd.com/2451/>]

Mathematischer Refresher – Vektoren und Matrizen

- **Vektor:** Spaltenvektor $\mathbf{x} \in \mathbb{R}^d$ mit d Komponenten

$$\mathbf{x} = \begin{pmatrix} x_1 \\ x_2 \\ \vdots \\ x_d \end{pmatrix} \quad (1)$$

- **Zeilenvektor:** $\mathbf{x}^T = (x_1, x_2, \dots, x_d)$ (Transponiert)

- **Matrix:** $\mathbf{A} \in \mathbb{R}^{m \times n}$ mit m Zeilen und n Spalten

$$\mathbf{A} = \begin{pmatrix} a_{11} & a_{12} & \cdots & a_{1n} \\ a_{21} & a_{22} & \cdots & a_{2n} \\ \vdots & \vdots & \ddots & \vdots \\ a_{m1} & a_{m2} & \cdots & a_{mn} \end{pmatrix} \quad (2)$$

Mathematischer Refresher – Grundoperationen

- **Skalarprodukt** (Dot Product): Für $\mathbf{x}, \mathbf{y} \in \mathbb{R}^d$

$$\mathbf{x}^T \mathbf{y} = \mathbf{x} \cdot \mathbf{y} = \sum_{i=1}^d x_i y_i \quad (3)$$

- **Matrix-Vektor-Multiplikation:** $\mathbf{A} \in \mathbb{R}^{m \times n}, \mathbf{x} \in \mathbb{R}^n$

$$\mathbf{y} = \mathbf{A}\mathbf{x} \in \mathbb{R}^m, \quad y_i = \sum_{j=1}^n a_{ij} x_j \quad (4)$$

- **Matrix-Matrix-Multiplikation:** $\mathbf{A} \in \mathbb{R}^{m \times k}, \mathbf{B} \in \mathbb{R}^{k \times n}$

$$\mathbf{C} = \mathbf{A}\mathbf{B} \in \mathbb{R}^{m \times n}, \quad c_{ij} = \sum_{\ell=1}^k a_{i\ell} b_{\ell j} \quad (5)$$

- **Elementweise Operationen:** Hadamard-Produkt $\mathbf{A} \odot \mathbf{B}$

$$(\mathbf{A} \odot \mathbf{B})_{ij} = a_{ij} \cdot b_{ij} \quad (6)$$

Mathematischer Refresher – Normen und Abstände

- **Euklidische Norm:** $||\mathbf{x}||_2 = \sqrt{\sum_{i=1}^d x_i^2}$ (Länge des Vektors)
- **L1-Norm:** $||\mathbf{x}||_1 = \sum_{i=1}^d |x_i|$ (Manhattan-Distanz)
- **Unendlich-Norm:** $||\mathbf{x}||_\infty = \max_i |x_i|$ (Maximum-Norm)
- **Frobenius-Norm** (für Matrizen): $||\mathbf{A}||_F = \sqrt{\sum_{i,j} a_{ij}^2}$
- **Einheitsvektor:** \mathbf{u} mit $||\mathbf{u}||_2 = 1$
- **Orthogonale Vektoren:** $\mathbf{x} \perp \mathbf{y}$ wenn $\mathbf{x}^T \mathbf{y} = 0$
- **Linearkombination:** $\mathbf{y} = \alpha_1 \mathbf{x}_1 + \alpha_2 \mathbf{x}_2 + \dots + \alpha_k \mathbf{x}_k$

Mathematischer Refresher – Differentiation und Gradienten

- **Partielle Ableitung:** Für $f : \mathbb{R}^n \rightarrow \mathbb{R}$

$$\frac{\partial f}{\partial x_i} = \lim_{h \rightarrow 0} \frac{f(\mathbf{x} + h\mathbf{e}_i) - f(\mathbf{x})}{h} \quad (7)$$

- **Gradient:** Vektor aller partiellen Ableitungen

$$\nabla f(\mathbf{x}) = \begin{pmatrix} \frac{\partial f}{\partial x_1} \\ \frac{\partial f}{\partial x_2} \\ \frac{\partial f}{\partial x_n} \end{pmatrix} \quad (8)$$

- **Kettenregel:** Für $f(g(x))$

$$\frac{d}{dx} f(g(x)) = f'(g(x)) \cdot g'(x) \quad (9)$$

- **Multivariable Kettenregel:** Für $f(\mathbf{u}(\mathbf{x}))$

$$\frac{\partial f}{\partial x_i} = \sum_j \frac{\partial f}{\partial u_j} \frac{\partial u_j}{\partial x_i} = \nabla_{\mathbf{u}} f \cdot \frac{\partial \mathbf{u}}{\partial x_i} \quad (10)$$

Mathematischer Refresher – Wichtige Funktionen und Eigenschaften

■ **Exponentialfunktion:** e^x , Ableitung: $\frac{d}{dx} e^x = e^x$

■ **Logarithmus:** $\ln(x)$, Ableitung: $\frac{d}{dx} \ln(x) = \frac{1}{x}$

■ **Sigmoid-Funktion:** $\sigma(x) = \frac{1}{1+e^{-x}}$

$$\sigma'(x) = \sigma(x)(1 - \sigma(x)) \quad (11)$$

■ **Quadratische Funktion:** $f(x) = ax^2 + bx + c$, Ableitung: $f'(x) = 2ax + b$

■ **Produktregel:** $(fg)' = f'g + fg'$

■ **Summenregel:** $(f + g)' = f' + g'$

■ **Konstante Faktoren:** $(cf)' = cf'$ für Konstante c

Mathematische Notation – Überblick für diese Vorlesung

- **Skalare:** Kleinbuchstaben a, b, c, x, y, z
- **Vektoren:** Fettgedruckte Kleinbuchstaben $\mathbf{x}, \mathbf{y}, \mathbf{w}, \mathbf{b}$
- **Matrizen:** Fettgedruckte Großbuchstaben $\mathbf{A}, \mathbf{W}, \mathbf{X}$
- **Mengen:** Kalligrafische Buchstaben $\mathcal{D}, \mathcal{M}, \mathcal{X}$
- **Funktionen:** f, g, h, L (Verlustfunktion)
- **Aktivierungsfunktionen:** $\sigma, \text{ReLU}, \tanh$
- **Indizes:**
 - i, j, k : Datenindizes, Neuron-Indizes
 - (ℓ) : Schicht-Index, z.B. $\mathbf{W}^{(\ell)}$
 - (t) : Zeit-/Iterationsindex, z.B. $\mathbf{w}^{(t)}$
- **Wahrscheinlichkeiten:** $P, p, \mathbb{E}[\cdot]$ (Erwartungswert)
- **Approximation:** \approx , Proportionalität: \propto

Was sind Neuronale Netze und was ist Deep Learning?

- Abstrakt: Verkettung nichtlinearer Abbildungen
- Die Parameter dieser Abbildungen wird mit vorhandenen Daten "gelernt"
- Verschiedene Optimierungsverfahren zur Festlegung der "besten" Parameter



[<https://xkcd.com/1838/>]

Warum funktionieren Neuronale Netze? – Mathematische Intuition

- **Grundproblem:** Finde eine Funktion $f : \mathbb{R}^d \rightarrow \mathbb{R}^k$, die Eingaben \mathbf{x} auf gewünschte Ausgaben \mathbf{y} abbildet
- **Funktionsapproximation:** Neuronale Netze sind universelle Funktionsapproximatoren
- **Komposition einfacher Funktionen:**

$$f(\mathbf{x}) = f_L \circ f_{L-1} \circ \dots \circ f_2 \circ f_1(\mathbf{x}) \quad (12)$$

- Jede Schicht f_i führt eine **affine Transformation** gefolgt von **Nichtlinearität** aus:

$$f_i(\mathbf{x}) = \sigma_i(\mathbf{W}_i \mathbf{x} + \mathbf{b}_i) \quad (13)$$

- **Warum Nichtlinearität wichtig ist:** Ohne sie wäre das gesamte Netz nur eine lineare Transformation

$$\mathbf{W}_L(\mathbf{W}_{L-1}(\dots(\mathbf{W}_1 \mathbf{x}))) = (\mathbf{W}_L \mathbf{W}_{L-1} \dots \mathbf{W}_1) \mathbf{x} = \mathbf{W}_{\text{eff}} \mathbf{x} \quad (14)$$

Warum funktionieren Neuronale Netze? – Universal Approximation Theorem

■ Universal Approximation Theorem [1, 2]:

- Ein Feedforward-Netz mit einer versteckten Schicht kann jede stetige Funktion auf einem kompakten Definitionsbereich beliebig genau approximieren
- **Mathematische Formulierung:** Sei $\sigma : \mathbb{R} \rightarrow \mathbb{R}$ eine nicht-konstante, beschränkte und monotone Aktivierungsfunktion. Dann kann für jede stetige Funktion $g : [0, 1]^d \rightarrow \mathbb{R}$ und $\epsilon > 0$ eine Funktion

$$F(\mathbf{x}) = \sum_{i=1}^N \alpha_i \sigma(\mathbf{w}_i^T \mathbf{x} + b_i) \quad (15)$$

gefunden werden, sodass $|F(\mathbf{x}) - g(\mathbf{x})| < \epsilon$ für alle $\mathbf{x} \in [0, 1]^d$

■ Praktische Bedeutung:

- Theoretisch können neuronale Netze jede Funktion lernen
- Problem: Anzahl der benötigten Neuronen kann exponentiell wachsen
- Deep Learning: Mehr Schichten können effizienter sein als breitere Netze

Die Mathematik des Lernens – Warum Gradientenabstieg funktioniert

- **Optimierungsproblem:** Minimiere Verlustfunktion $L(\theta)$ über Parameter θ
- **Gradientenabstieg basiert auf Taylor-Entwicklung:**

$$L(\theta + \Delta\theta) \approx L(\theta) + \nabla L(\theta)^T \Delta\theta \quad (16)$$

- Um L zu minimieren, wähle $\Delta\theta = -\eta \nabla L(\theta)$ (mit $\eta > 0$)
- **Warum funktioniert das?** Für kleine η :

$$L(\theta - \eta \nabla L(\theta)) \approx L(\theta) - \eta \|\nabla L(\theta)\|^2 \leq L(\theta) \quad (17)$$

- **Konvergenz-Eigenschaften:**
 - Für konvexe Funktionen: Garantierte Konvergenz zum globalen Minimum
 - Für nicht-konvexe Funktionen (neuronale Netze): Konvergenz zu lokalen Minima
 - **Überraschung:** Lokale Minima sind oft "gut genug" für praktische Anwendungen

Konstruktion von Neuronalen Netzen: Single-Layer-Perceptron

- Einfacher binärer Klassifikator mit Aktivierungsfunktion

$$f(\mathbf{x}) = \begin{cases} 1 & \text{if } \mathbf{w}^T \mathbf{x} + b \geq \theta, \\ 0 & \text{otherwise} \end{cases} \quad (18)$$

- mit dem Gewichtsvektor $\mathbf{w} \in \mathbb{R}^d$, Eingabevektor $\mathbf{x} \in \mathbb{R}^d$, Bias $b \in \mathbb{R}$ und Schwellwert θ

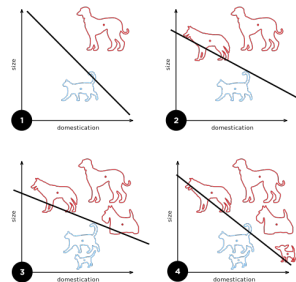
- Das Skalarprodukt: $\mathbf{w}^T \mathbf{x} = \sum_{i=1}^d w_i x_i$

- Entscheidungsgrenze im 2D-Fall ($d = 2$): Gerade mit Gleichung

$$w_1 x_1 + w_2 x_2 + b = \theta \quad (19)$$

$$x_2 = -\frac{w_1}{w_2} x_1 - \frac{b - \theta}{w_2} \quad (20)$$

- Geometrische Interpretation: Hyperebene teilt den \mathbb{R}^d in zwei Halbräume
- Linear separierbare Probleme: Klassen können durch Hyperebene getrennt werden



Training von Neuronalen Netzen: Single-Layer-Perceptron

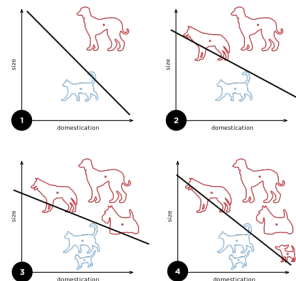
- Gegeben: Trainingsdatensatz $D = \{(\mathbf{x}_i, y_i)\}_{i=1}^n$ mit $\mathbf{x}_i \in \mathbb{R}^d, y_i \in \{-1, +1\}$
- Perceptron-Lernregel [3]:

$$\mathbf{w}^{(t+1)} = \mathbf{w}^{(t)} + \eta \sum_{(\mathbf{x}_i, y_i) \in M^{(t)}} y_i \mathbf{x}_i \quad (21)$$

- Fehlklassifizierungen: $M^{(t)} = \{(\mathbf{x}_i, y_i) : y_i(\mathbf{w}^{(t)T} \mathbf{x}_i + b) \leq 0\}$
- Verlustfunktion (Perceptron-Verlust):

$$L(\mathbf{w}, b) = \sum_{(\mathbf{x}_i, y_i) \in M} -y_i(\mathbf{w}^T \mathbf{x}_i + b) \quad (22)$$

- Konvergenz-Theorem: Für linear separierbare Daten konvergiert der Algorithmus in endlich vielen Schritten
- Margin $\gamma = \min_i \frac{y_i(\mathbf{w}^* T \mathbf{x}_i + b^*)}{\|\mathbf{w}^*\|_2}$ bestimmt Konvergenzgeschwindigkeit



Training von Neuronalen Netzen: Gradientenabstieg

- **Gradientenabstieg** (Gradient Descent) - allgemeines Optimierungsverfahren
- Iterative Aktualisierung der Parameter:

$$\theta^{(t+1)} = \theta^{(t)} - \eta \nabla_{\theta} L(\theta^{(t)}) \quad (23)$$

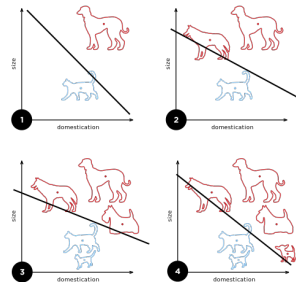
- $\eta > 0$: Lernrate (Schrittweite), θ : Parametervektor
- Gradient einer Funktion $f: \mathbb{R}^n \rightarrow \mathbb{R}$:

$$\nabla f(\mathbf{x}) = \left(\frac{\partial f}{\partial x_1}, \frac{\partial f}{\partial x_2}, \dots, \frac{\partial f}{\partial x_n} \right)^T \quad (24)$$

- Gradient zeigt in Richtung des steilsten Anstiegs $\Rightarrow -\nabla f$ zeigt zum lokalen Minimum
- Für Perceptron-Verlust:

$$\frac{\partial L}{\partial w_j} = \sum_{(\mathbf{x}_i, y_i) \in M} -y_i x_{ij} \quad (25)$$

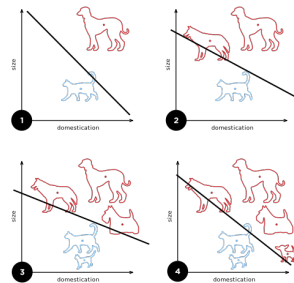
$$\nabla_{\mathbf{w}} L = - \sum_{(\mathbf{x}_i, y_i) \in M} y_i \mathbf{x}_i \quad (26)$$



Training von Neuronalen Netzen: Single-Layer-Perceptron

■ Daraus folgt:

$$\nabla f(w) = \left(- \sum_{x \in F(w)} x_1, - \sum_{x \in F(w)} x_2, \dots, - \sum_{x \in F(w)} x_n \right) = - \sum_{x \in F(w)} x \quad (27)$$



Grenzen des Single-Layer-Perceptrons – Das XOR-Problem

- **Fundamentale Limitation:** Perceptron kann nur linear separierbare Probleme lösen

- **XOR-Problem [4]:**

x_1	x_2	XOR
0	0	0
0	1	1
1	0	1
1	1	0

- **Mathematischer Beweis der Unmöglichkeit:**
- Angenommen, es existiert $\mathbf{w} = (w_1, w_2)$ und b , sodass:

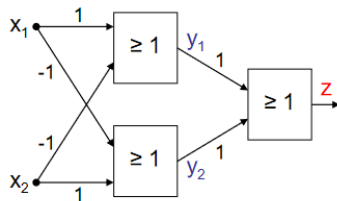
$$w_1 \cdot 0 + w_2 \cdot 1 + b > 0 \quad (\text{für } (0,1)) \quad (28)$$

$$w_1 \cdot 1 + w_2 \cdot 0 + b > 0 \quad (\text{für } (1,0)) \quad (29)$$

$$w_1 \cdot 0 + w_2 \cdot 0 + b \leq 0 \quad (\text{für } (0,0)) \quad (30)$$

$$w_1 \cdot 1 + w_2 \cdot 1 + b \leq 0 \quad (\text{für } (1,1)) \quad (31)$$

- Aus (1) und (3): $w_2 > -b \geq 0 \Rightarrow w_2 > 0$



Konstruktion von Neuronalen Netzen: Multi-Layer-Perceptron

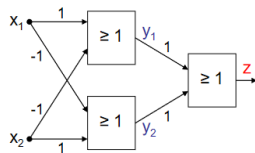
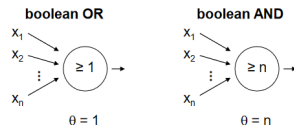
- **Lösung des XOR-Problems:** Mehrschichtige Netze!
- **Komposition von Hyperebenen:**
 - Erste Schicht: Erzeugt mehrere lineare Entscheidungsgrenzen
 - Zweite Schicht: Kombiniert diese zu komplexeren Formen
- **Mathematische Intuition für XOR:**

$$h_1 = \sigma(x_1 + x_2 - 0.5) \quad (\text{OR-Gate}) \quad (32)$$

$$h_2 = \sigma(-x_1 - x_2 + 1.5) \quad (\text{NAND-Gate}) \quad (33)$$

$$\text{XOR} = \sigma(h_1 + h_2 - 1.5) \quad (34)$$

- **Universal Approximation:** Mit einer versteckten Schicht können beliebige stetige Funktionen approximiert werden
- **Tiefe vs. Breite:** Tiefere Netze können effizienter sein als breitere



Training von Neuronalen Netzen: Multi-Layer-Perceptron

- **Multilayer Perceptron (MLP):** Neuronales Netz mit versteckten Schichten

- Forward-Pass für 2-Schicht-Netz:

$$\mathbf{z}^{(1)} = \mathbf{W}^{(1)}\mathbf{x} + \mathbf{b}^{(1)} \quad (\text{lineare Transformation}) \quad (35)$$

$$\mathbf{a}^{(1)} = \sigma(\mathbf{z}^{(1)}) \quad (\text{Aktivierung}) \quad (36)$$

$$\mathbf{z}^{(2)} = \mathbf{W}^{(2)}\mathbf{a}^{(1)} + \mathbf{b}^{(2)} \quad (37)$$

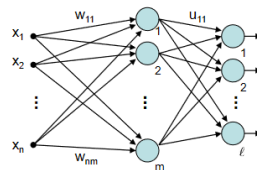
$$\hat{\mathbf{y}} = \sigma(\mathbf{z}^{(2)}) \quad (38)$$

- Mean Squared Error (MSE) Loss:

$$L(\mathbf{W}, \mathbf{b}) = \frac{1}{n} \sum_{i=1}^n \|\hat{\mathbf{y}}_i - \mathbf{y}_i\|_2^2 \quad (39)$$

- Problem der Heaviside-Funktion: $H(x) = \begin{cases} 1 & x \geq 0 \\ 0 & x < 0 \end{cases}$ nicht differenzierbar

- Lösung: Glatte Aktivierungsfunktionen (Sigmoid, Tanh, ReLU)



Training von Neuronalen Netzen: Multi-Layer-Perceptron

$$f(w) = \sum_{x \in B} ||g(w; x) - g^*(x)||^2 \rightarrow \min \quad (40)$$

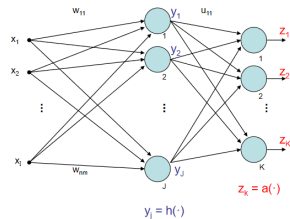
- mit dem Output des Netzes $g(w; x)$ und dem erwarteten Output $g^*(x)$

$$u^{(t+1)} = u^t - \gamma \nabla_u f(w_t, u_t) \quad (41)$$

$$w^{(t+1)} = w^t - \gamma \nabla_w f(w_t, u_t) \quad (42)$$

$$(43)$$

- x_i : Inputs
- y_j : Werte nach dem ersten Layer
- z_k : Werte nach dem zweiten Layer



Backpropagation-Algorithmus: Mathematische Grundlagen

- **Backpropagation** [5]: Effizienter Algorithmus zur Berechnung von Gradienten in neuronalen Netzen
- Anwendung der Kettenregel der Differentiation:

$$\frac{\partial L}{\partial w_{ij}^{(l)}} = \frac{\partial L}{\partial z_j^{(l)}} \cdot \frac{\partial z_j^{(l)}}{\partial w_{ij}^{(l)}} \quad (44)$$

- Definition der **lokalen Gradienten** (Deltas):

$$\delta_j^{(l)} = \frac{\partial L}{\partial z_j^{(l)}} \quad (45)$$

- Rekursive Berechnung (rückwärts durch das Netz):

$$\delta_j^{(L)} = \frac{\partial L}{\partial a_j^{(L)}} \cdot \sigma'(z_j^{(L)}) \quad (\text{Output-Schicht}) \quad (46)$$

$$\delta_j^{(l)} = \left(\sum_k \delta_k^{(l+1)} w_{jk}^{(l+1)} \right) \sigma'(z_j^{(l)}) \quad (\text{versteckte Schichten}) \quad (47)$$

- Gradientenberechnung:

$$\frac{\partial L}{\partial a_i^{(l)}} = \delta_i^{(l)} \cdot a_i^{(l-1)} \quad (48)$$

Training von Neuronalen Netzen: Multi-Layer-Perceptron

- analog zum SLP nutzen wir den Gradienten zur Minimierung des Fehlers

$$\begin{aligned}\nabla f(w, u) &= \sum_{x, z^* \in B} \nabla f(w, u; x, z^*) \\ \frac{\partial f(w, u)}{\partial u_{jk}} &= \sum_{x, z^* \in B} \frac{\partial f(w, u; x, z^*)}{\partial u_{jk}} \\ \frac{\partial f(w, u)}{\partial w_{ij}} &= \sum_{x, z^* \in B} \frac{\partial f(w, u; x, z^*)}{\partial w_{ij}}\end{aligned}$$

- mit den Sigmoid-Aktivierungsfunktionen:

$$a(x) = h(x) = \frac{1}{1 + e^{-x}} \text{ mit der Ableitung: } \frac{da(x)}{dx} = a(x) \cdot (1 - a(x))$$

- mit der Kettenregel für Ableitungen:

$$[p(q(x))]^\sim = p^\sim(q(x)) \cdot q^\sim(x)$$

- ergibt sich für den Gradienten von f :

$$f(w, u; x, z^*) = \sum_{k=1}^K [a(u_k y) - z_k^*]^2$$

Training von Neuronalen Netzen: Multi-Layer-Perceptron

- ergibt sich für den Gradienten von f :

$$\begin{aligned}
 f(w, u; x, z^*) &= \sum_{k=1}^K [a(u_k y) - z_k^*]^2 \\
 \frac{\partial f(w, u; x, z^*)}{\partial u_{jk}} &= \sum_{x, z^* \in B} \frac{\partial f(w, u; x, z^*)}{\partial u_{jk}} \\
 &= 2[a(u_k y) - z_k^*] \cdot a'(u_k y) \cdot y_j \\
 &= 2[a(u_k y) - z_k^*] \cdot a(u_k y) \cdot (1 - a(u_k y)) \cdot y_j \\
 &= 2 \underbrace{[z_k - z_k^*] \cdot z_k \cdot (1 - z_k)}_{\text{Fehlerterm } \delta_k} \cdot y_j \\
 \frac{\partial f(w, u; x, z^*)}{\partial w_{ij}} &= 2 \sum_{k=1}^K (a(u_k y) - z_k^*) \cdot a'(u_k y) \cdot u_{jk} \cdot h'(w_j x) x_i \\
 &= 2 \sum_{k=1}^K (z_k - z_k^*) \cdot z_k \cdot (1 - z_k) \cdot u_{jk} \cdot y_j (1 - y_j) x_i \\
 &= x_i y_j (1 - y_j) 2 \underbrace{\sum_{k=1}^K (z_k - z_k^*) \cdot z_k \cdot (1 - z_k) \cdot u_{jk} \cdot y_j}_{\text{Fehlerterm } \delta_k}
 \end{aligned}$$

Verallgemeinerung Training von Neuronalen Netzen: M-Layer-Perceptron

- bei einem Neuronalen Netz mit L Layern S_1, S_2, \dots, S_L
- den Gewichten w_{ij} in der Matrix W
- dem output eines Neurons o_j
- ist der Fehlerterm:

$$\delta_j = \begin{cases} o_j \cdot (1 - o_j) \cdot (o_j - z_j^*) & \text{if } j \in S_L, \text{ output Neuron} \\ o_j \cdot (1 - o_j) \cdot \sum_{k \in S_{m+1}} \delta_k \cdot w_{jk} & \text{if } j \in S_m \text{ and } m < L \end{cases}$$

- Der Korrekturterm für die einzelnen Gewichte ist dann:

$$w_{ij}^{(t+1)} = w_{ij}^t - \gamma \cdot o_i \cdot \delta_j \quad (50)$$

Fortgeschrittene Optimierungsalgorithmen

- **Momentum:** Beschleunigung in konsistente Richtungen

$$\mathbf{v}^{(t+1)} = \beta \mathbf{v}^{(t)} + \eta \nabla L(\theta^{(t)}) \quad (51)$$

$$\theta^{(t+1)} = \theta^{(t)} - \mathbf{v}^{(t+1)} \quad (52)$$

- **ADAM** [6] (Adaptive Moment Estimation) - Kombination aus Momentum und RMSprop:

$$m_w^{(t+1)} = \beta_1 m_w^{(t)} + (1 - \beta_1) \nabla_w L^{(t)} \quad (1. \text{ Moment}) \quad (53)$$

$$v_w^{(t+1)} = \beta_2 v_w^{(t)} + (1 - \beta_2) (\nabla_w L^{(t)})^2 \quad (2. \text{ Moment}) \quad (54)$$

$$\hat{m}_w^{(t)} = \frac{m_w^{(t+1)}}{1 - \beta_1^{t+1}} \quad (\text{Bias-Korrektur}) \quad (55)$$

$$\hat{v}_w^{(t)} = \frac{v_w^{(t+1)}}{1 - \beta_2^{t+1}} \quad (\text{Bias-Korrektur}) \quad (56)$$

$$w^{(t+1)} = w^{(t)} - \frac{\eta}{\sqrt{\hat{v}_w^{(t)} + \epsilon}} \hat{m}_w^{(t)} \quad (57)$$

- Typische Hyperparameter: $\beta_1 = 0.9$, $\beta_2 = 0.999$, $\epsilon = 10^{-8}$

Warum "Deep" Learning? – Mathematische Rechtfertigung für tiefe Netze

- **Representation Learning:** Tiefere Netze lernen hierarchische Merkmalsdarstellungen
- **Mathematischer Vorteil:** Exponentiell weniger Parameter für dieselbe Expressivität
- **Beispiel - Parität-Funktion:** Prüfe, ob eine ungerade Anzahl von Bits gesetzt ist
 - Flaches Netz: Benötigt $O(2^n)$ versteckte Neuronen
 - Tiefes Netz: Benötigt nur $O(n)$ Neuronen in $O(\log n)$ Schichten
- **Kompositionelle Struktur:** Viele reale Funktionen haben hierarchische Struktur

$$f(\mathbf{x}) = g_L(g_{L-1}(\dots g_2(g_1(\mathbf{x}))\dots)) \quad (58)$$

- **Feature Learning:** Jede Schicht ℓ lernt Features der Form:

$$\mathbf{h}^{(\ell)} = \sigma(\mathbf{W}^{(\ell)}\mathbf{h}^{(\ell-1)} + \mathbf{b}^{(\ell)}) \quad (59)$$

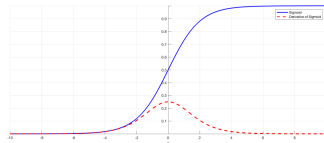
- **Intuition:**
 - Untere Schichten: Einfache Features (Kanten, Texturen)
 - Mittlere Schichten: Kombinationen (Formen, Teile)
 - Obere Schichten: Komplexe Konzepte (Objekte, Semantik)

Das Vanishing Gradient Problem – Warum tiefe Netze schwer zu trainieren sind

- **Problem:** Bei tiefen Netzen werden Gradienten exponentiell kleiner
- **Mathematische Analyse:** Für Sigmoid-Aktivierung $\sigma'(x) \leq 0.25$
- Gradient in Schicht ℓ proportional zu:

$$\frac{\partial L}{\partial \mathbf{W}^{(\ell)}} \propto \prod_{i=\ell+1}^L \mathbf{W}^{(i)} \sigma'(\mathbf{z}^{(i)}) \quad (60)$$

- Für $L - \ell$ Schichten: Faktor $\leq (0.25)^{L-\ell}$
- **Beispiel:** Bei 10 Schichten kann Gradient um Faktor 10^{-6} schrumpfen!
- **Lösungsansätze:**
 - ReLU-Aktivierungen: $\text{ReLU}'(x) = 1$ für $x > 0$
 - Residual Connections (ResNets)
 - Normalization (BatchNorm, LayerNorm)
 - Bessere Initialisierung (Xavier, He)

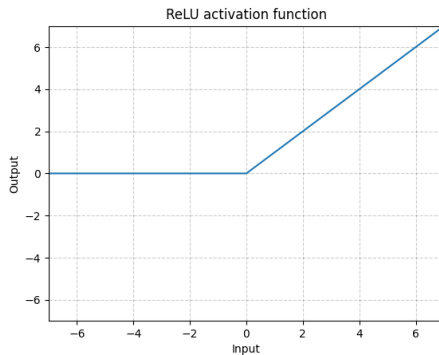
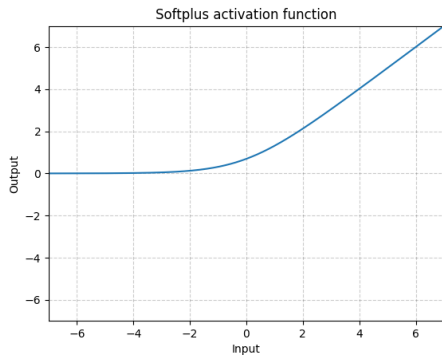


Aktivierungsfunktionen – Mathematische Eigenschaften und Warum sie wichtig sind

- **Sigmoid-Funktion:** $\sigma(x) = \frac{1}{1+e^{-x}}$, Ableitung: $\sigma'(x) = \sigma(x)(1 - \sigma(x))$
 - Glatt und differenzierbar, Ausgabe in $(0, 1)$
 - **Problem:** Vanishing Gradients für $|x| \gg 0$: $\sigma'(x) \rightarrow 0$
- **Tanh-Funktion:** $\tanh(x) = \frac{e^x - e^{-x}}{e^x + e^{-x}}$, Ableitung: $\tanh'(x) = 1 - \tanh^2(x)$
 - Ausgabe in $(-1, 1)$, zero-centered (bessere Konvergenz)
 - Ebenfalls Vanishing Gradient Problem
- **ReLU-Funktion** [7]: $\text{ReLU}(x) = \max(0, x)$, Ableitung: $\text{ReLU}'(x) = \begin{cases} 1 & x > 0 \\ 0 & x \leq 0 \end{cases}$
 - Löst Vanishing Gradient Problem für $x > 0$
 - Computationally efficient, führt zu sparse representations
 - **Problem:** "Dying ReLU" - Neuronen können "sterben" wenn $x \leq 0$
- **Warum Nichtlinearität essentiell ist:**

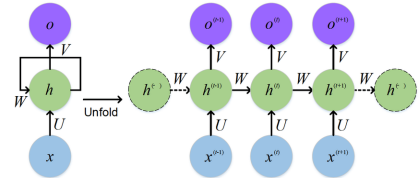
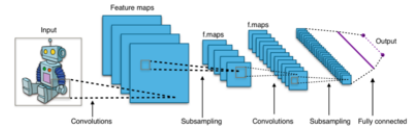
$$\text{Ohne } \sigma : f(\mathbf{x}) = \mathbf{W}_2(\mathbf{W}_1\mathbf{x}) = (\mathbf{W}_2\mathbf{W}_1)\mathbf{x} = \mathbf{W}_{\text{linear}}\mathbf{x} \quad (61)$$

Häufige Aktivierungsfunktionen – Visualisierung



Weitere Netzwerk Architekturen

- spezielle Datenstrukturen profitieren von speziellen Architekturen
- Bilderkennung → Convolutional Neural Network (CNN)
- sequentielle Daten → Recurrent Neural Networks (RNN)
- im speziellen um Kausalität/Kontext herzustellen → Long Short Term Memory (LSTM)



Warum funktionieren CNNs? – Mathematische Prinzipien

■ Drei Schlüsselprinzipien von CNNs:

■ 1. Lokale Konnektivität: Jedes Neuron ist nur mit lokalem Bereich verbunden

$$y_{ij}^{(\ell)} = \sigma \left(\sum_{m=-k}^k \sum_{n=-k}^k w_{m,n}^{(\ell)} \cdot x_{i+m,j+n}^{(\ell-1)} + b^{(\ell)} \right) \quad (62)$$

■ 2. Parameter Sharing: Derselbe Filter \mathbf{W} wird über gesamte Feature-Map verwendet

- Reduziert Parameter von $O(H \cdot W \cdot d^2)$ auf $O(k^2 \cdot d)$
- Erzwingt Translationsinvarianz

■ 3. Equivarianz zu Translationen: Wenn Input um \mathbf{t} verschoben wird, verschiebt sich Output ebenfalls um \mathbf{t}

$$\text{Conv}(\mathbf{T}_{\mathbf{t}}[\mathbf{x}]) = \mathbf{T}_{\mathbf{t}}[\text{Conv}(\mathbf{x})] \quad (63)$$

■ Pooling führt zu begrenzter Translationsinvarianz:

$$\text{MaxPool}(\mathbf{X})_{ij} = \max_{(p,q) \in N_{ij}} \mathbf{X}_{p,q} \quad (64)$$

■ Hierarchische Feature-Extraktion: Einfache \rightarrow Komplexe Features

Spezielle Netzwerkarchitekturen: CNN – Implementierung

- **Convolutional Neural Networks** [8]: Spezialisiert auf gitterförmige Daten (Bilder)

- **Faltungsoperation** (2D-Convolution):

$$(\mathbf{I} * \mathbf{K})_{i,j} = \sum_{m=0}^{M-1} \sum_{n=0}^{N-1} \mathbf{I}_{i+m,j+n} \cdot \mathbf{K}_{m,n} \quad (65)$$

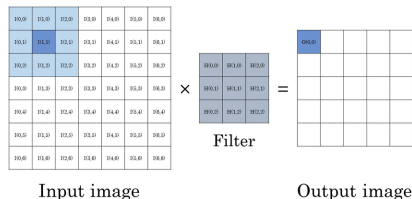
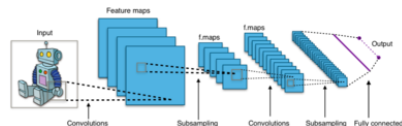
- **I**: Input-Feature-Map, **K**: Kernel (Filter) der Größe $M \times N$

- **Pooling**: Dimensionsreduktion, z.B. Max-Pooling:

$$\text{MaxPool}(\mathbf{X})_{i,j} = \max_{p,q \in P_{i,j}} \mathbf{X}_{p,q} \quad (66)$$

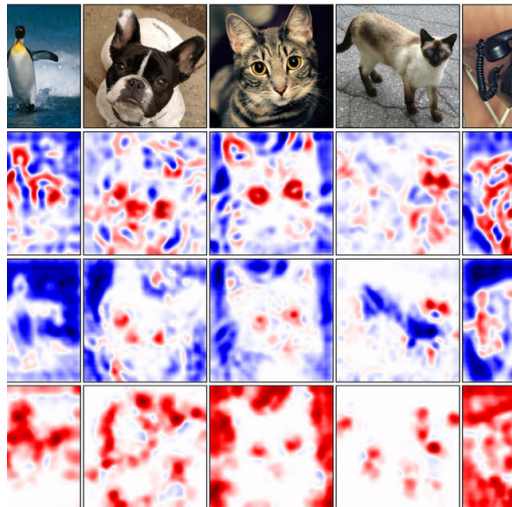
- **Parameter Sharing**: Derselbe Filter wird über gesamte Feature-Map angewendet

- **Translation Invariance**: Robustheit gegenüber Verschiebungen



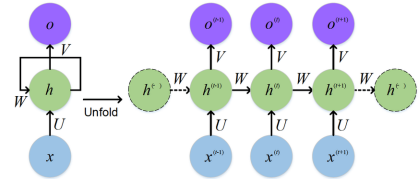
Spezielle Netzwerkarchitekturen: CNN

- Anschaulich: Formen werden erkannt
- Katzenohren sind anders als Hundehohren
- Verallgemeinerbar für andere Objektklassifizierungen



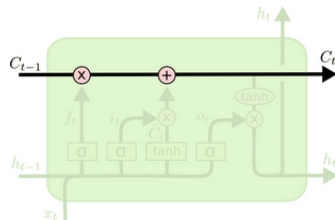
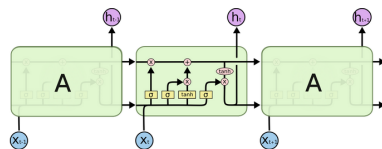
Spezielle Netzwerkarchitekturen: RNN

- Anschaulich: Schleife in Netzwerk "merkt" sich vorherige Zustände
- funktioniert für kurze Zeiträume
- Entfaltung eines RNN → viele zu trainierende Gewichte
- Problem: langfristige Zusammenhänge werden nicht erfasst
- Problem: Verschwindende Gradienten



Spezielle Netzwerkarchitekturen: LSTM

- **Long Short-Term Memory** [9]: Lösung des Vanishing Gradient Problems in RNNs
- **Cell State C_t** : Langzeit-Gedächtnis der LSTM-Zelle
- **Hidden State h_t** : Kurzzeit-Output der Zelle
- Drei Gating-Mechanismen kontrollieren Informationsfluss:
 - Forget Gate: Welche Informationen vergessen?
 - Input Gate: Welche neuen Informationen speichern?
 - Output Gate: Welche Teile des Cell States ausgeben?



LSTM: Mathematische Formulierung

- **Forget Gate:** Entscheidet, welche Informationen aus C_{t-1} gelöscht werden

$$f_t = \sigma(W_f \cdot [h_{t-1}, x_t] + b_f) \quad (67)$$

- **Input Gate:** Bestimmt neue Informationen für Cell State

$$i_t = \sigma(W_i \cdot [h_{t-1}, x_t] + b_i) \quad (68)$$

$$\tilde{C}_t = \tanh(W_C \cdot [h_{t-1}, x_t] + b_C) \quad (69)$$

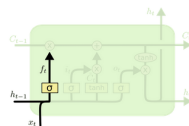
- **Cell State Update:**

$$C_t = f_t * C_{t-1} + i_t * \tilde{C}_t \quad (70)$$

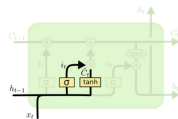
- **Output Gate und Hidden State:**

$$o_t = \sigma(W_o \cdot [h_{t-1}, x_t] + b_o) \quad (71)$$

$$h_t = o_t * \tanh(C_t) \quad (72)$$



$$f_t = \sigma(W_f \cdot [h_{t-1}, x_t] + b_f)$$

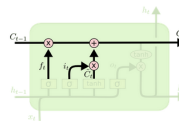


$$i_t = \sigma(W_i \cdot [h_{t-1}, x_t] + b_i)$$

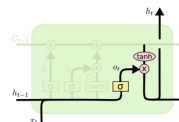
$$\tilde{C}_t = \tanh(W_C \cdot [h_{t-1}, x_t] + b_C)$$

Spezielle Netzwerkarchitekturen: LSTM

- Update des alten Cell states mithilfe des alten und neuen Zustandes
- Output der LSTM Zelle und Erzeugung des neuen hidden states



$$C_t = f_t * C_{t-1} + i_t * \tilde{C}_t$$

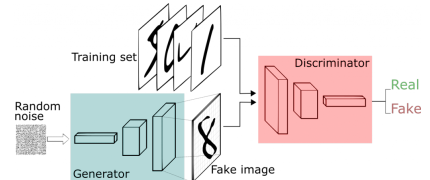
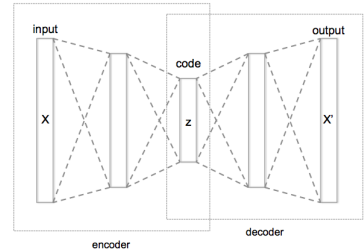


$$o_t = \sigma(W_o [h_{t-1}, x_t] + b_o)$$

$$h_t = o_t * \tanh(C_t)$$

Spezielle Netzwerkarchitekturen: Unsupervised Learning

- Autoencoder bzw. Encoder-Decoder Netzwerke
- Versuch den Input wieder zu rekonstruieren → Interessant für unsupervised anomaly detection
- Generative Netzwerk
- Möglichkeit aus "Noise" komplexe echt aussehende Daten zu erzeugen → mögliche Beschleunigung von (FE-)Simulationen



Was ist Predictive Maintenance?

Grundlegende Ziele

- Prozessüberwachung und eventuelle Steuerung
- Vorhersagen von Maschinen/Produktionsausfällen
- Hilfe/Unterstützung bei der Wartungsplanung
- Klassifikation von Fehlerzuständen
- ...

Was ist Predictive Maintenance?

- PM ist als Teilbereich der Industrie 4.0 zu verstehen
- (Nah-) Echtzeitdatenanalysen sollen Bedarfsgerechte Wartung ermöglichen
- Großes Potential der Kosteneinsparung

Fallbeispiel: Vollautomatisierte Produktionszelle

- Automatisierungstechnik liefert Prozessdaten
- zusätzliche Sensorik liefert mehr Daten
- Ein Trend in den Daten deutet auf einen zukünftigen Fehler hin
- Der Fehler wird klassifiziert und eine Handlungsanweisung wird herausgegeben
- Der Fehler kann, bevor er größere Schäden, oder Produktionsausfälle behoben werden
- Welche Schritte sind dafür Notwendig?

Fallbeispiel: Vollautomatisierte Produktionszelle – Outline

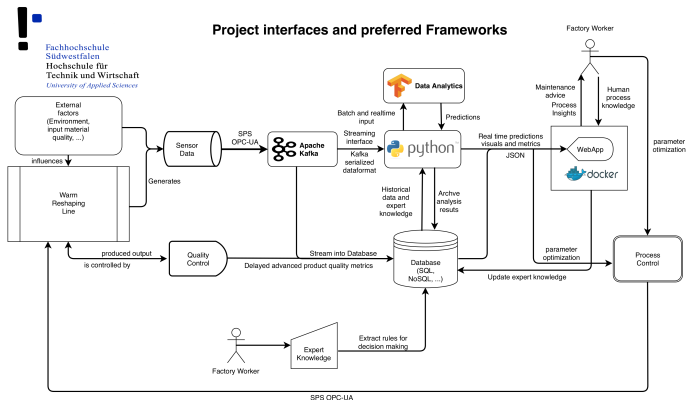
Ausgangslage Industrie 3.0

- Automatisierungstechnik existiert und Daten stehen der Anlagensteuerung zur Verfügung
- Wie werden die Daten weiterverarbeitet? Haben Sie Beispiele aus Ihrem Unternehmen?
- eine Möglichkeit: Auslesen der Daten über eine OPC-UA Schnittstelle
- Weiterleitung dieser Daten über ein schnelle und skalierbare Schnittstelle (MQTT, ApacheKafka, ...)
- Empfang dieser Daten auf einem Datenbankserver (MariaDB, TimeseriesDB, ApacheDruid, ...)
- Durchführung von Echtzeitanalysen auf einem Edge-Computer, oder in der Cloud

Fallbeispiel: Vollautomatisierte Produktionszelle – Warmumformanlage

- Umformung und gleichzeitige Härtung von Stahl im Automobilleichtbau
- Probleme:
 - Komplexe Wirkzusammenhänge während des Prozesses
 - Verlust von Know-How bei Standortwechseln der Produktion
 - Langwierige Prüfverfahren zur Qualitätssicherung → hohes Schadenspotential bei unentdeckten Fehlern

Visualisierung eines möglichen Backends



Fallbeispiel: Vollautomatisierte Produktionszelle – Datensammlung

- Prozessdaten werden mit einer OPC-UA Schnittstelle aus der übergeordneten Steuerung gelesen
- Die Qualitätssicherung liefert verzögert Daten über die gefertigten Bauteile
- Experten geben Know-How über den Prozess in einer strukturierten Form einer FMEA (Failure Mode and Effects Analysis) ein

Fallbeispiel: Vollautomatisierte Produktionszelle – Erste Datenverarbeitung mit einem Broker System

- Die Daten aus der Anlagensteuerung werden mit einem "Producer" an einen Broker geschickt, der den Datenstrom verwaltet
- Ein Brokersystem wie ApacheKafka oder MQTT kontrolliert den Datenfluss
- Clients können dem Broker "folgen" (subscriben)
- Ein sogenannter Consumer erhält diesen nun bei jedem neuen erzeugten Datenpunkt
- Diese Datenpunkte können dann mit einem Machine Learning Framework (sci-kit-learn, TensorFlow, PyTorch) analysiert werden
- Vorteil: Parallelisierung des Datenflusses möglich
- Gleichzeitiges Speichern der Daten in einer Datenbank und Echtzeitverarbeitung im Datenanalyse Framework und darstellung auf

Fallbeispiel: Vollautomatisierte Produktionszelle – Darstellung der Daten für einen Maschinenoperator

- Eine vereinfachte visuelle Darstellung der Maschinenparameter kann z.B. in einem Dashboard ausgegeben werden
- Erfahrene Operatoren können aus diesen Daten und ersten Analysen Schlussfolgerungen ziehen
- mögliche Parameteranpassungen im Prozess können durch diesen Operator durchgeführt werden

Fallbeispiel: Vollautomatisierte Produktionszelle – Direkte Handlungsanweisungen an einen Operator

- Vorhersagen des trainierten Machine Learning Modells werden mit einer FMEA abgeglichen
- eine FMEA enthält die häufigsten Fehler und Defekte einer Anlage
- Problemlösungen werden hier strukturiert skizziert
- unerfahrene Operatoren können hier durch das gesammelte Expertenwissen Entscheidungen treffen
- Operatoren können für den Vorhergesagten Zeitpunkt Mechaniker zur Wartung der Maschine anfordern









Fallbeispiel: Vollautomatisierte Produktionszelle – Direkte Handlungsanweisungen an die Prozesssteuerung (Dangerzone)

- Mögliche kritische Zustände können direkt zu einem Stop der Produktion führen
- Anpassung der Prozessparameter direkt durch die Software
→vollständig autonomes System
- Mensch wird nur noch zum Eintragen von Know-How benötigt

Andere Beispiele: Wo ist PM finanziell besonders sinnvoll?

- Kraftfahrzeuge: Sensorik in Verschleißteilen kann Totalausfälle vermeiden
- Luftfahrt: Der Ausfall von Passagier- oder Luftfrachtflügen kann mit guten Ausfallvorhersagen verhindert werden
- Schienenverkehr

References I

-  G. Cybenko, "Approximation by superpositions of a sigmoidal function," Mathematics of control, signals and systems, vol. 2, no. 4, pp. 303–314, 1989.
-  K. Hornik, "Approximation capabilities of multilayer feedforward networks," Neural networks, vol. 4, no. 2, pp. 251–257, 1991.
-  F. Rosenblatt, "The perceptron: a probabilistic model for information storage and organization in the brain," Psychological review, vol. 65, no. 6, pp. 386–408, 1958.
-  M. Minsky and S. Papert, Perceptrons: An introduction to computational geometry. MIT press, 1969.
-  D. E. Rumelhart, G. E. Hinton, and R. J. Williams, "Learning representations by back-propagating errors," Nature, vol. 323, no. 6088, pp. 533–536, 1986.
-  D. P. Kingma and J. Ba, "Adam: A method for stochastic optimization," arXiv preprint arXiv:1412.6980, 2014.
-  V. Nair and G. E. Hinton, "Rectified linear units improve restricted boltzmann machines," in Proceedings of the 27th international conference on machine learning (ICML-10), pp. 807–814, 2010.
-  Y. LeCun, L. Bottou, Y. Bengio, and P. Haffner, "Gradient-based learning applied to document recognition," Proceedings of the IEEE, vol. 86, no. 11, pp. 2278–2324, 1998.

References II



S. Hochreiter and J. Schmidhuber, "Long short-term memory," Neural computation, vol. 9, no. 8, pp. 1735–1780, 1997.